

Calculation of spectrum characteristics for molecular (S_2F_2) in Infrared rays by using quantum mechanics of semi empirical

حساب الخصائص الطيفية لجزيئه (S_2F_2) في منطقة الاشعة تحت الحمراء باستخدام ميكانيك الكم شبه التجريبي

م. حيدر محمد جواد حيدر

جامعة الكوفة - كلية التربية للبنات - قسم الفيزياء

الخلاصة:

في هذا البحث تم دراسة الخواص الطيفية وذلك باستخدام الحسابات النظرية شبه التجريبية لدراسة التركيب الجزيئي لمنظومة جزيئية لاختطية ، وهي جزيئه (S_2F_2) في منطقة الاشعة تحت الحمراء، وذلك باستخدام برامج الكم الشبه تجريبية وبطريقة (MNDO/pm3).

ان هذه الدراسة تكون تحت شرط الحصول على التركيب المستقر للجزيئه والتي تحصل فيها الجزيئه على اقل قيمة للطاقة الكلية. ايضاً حسبت الترددات الاهتزاز الاساسية للجزيئه الواقعه ضمن منطقة الاشعة تحت الحمراء من الطيف الكهرومغناطيسي وقد تراوحت بين $^{1-}(852.83-81.58)cm^{-1}$ ، كذلك تم حساب كثافة توزيع الشحنة الكلية، والجهد الكهروستاتيكي .

Abstract:

The study in this search of spectral and thermal properties by using theoretical semi-empirical calculation to study the molecular structure for non-linear systems, that molecular (S_2F_2) in Infra-red, by using semi-empirical programs and method (MNDO/PM3). This study happen when we get the equilibrium structure for molecules at minimum total energy.

Also molecules primitive vibration frequencies located with in Infra-red region from spectrum ranged between $(81.58-852.83) cm^{-1}$. Also determined charge density distribution and electrostatic potential.

(1) المقدمة :

إن لجزيئات هاليدات الكبريت أهمية كبيرة من الناحية العلمية والصناعية . مما جعل العلماء يهتمون بدراسة خصائصها نظرياً وعملياً. وكان للخصائص الطيفية الاهتمام الأكبر لأنه يعطي وصفاً كاملاً لتركيب الجزيئه ومستويات الطاقة فيها والمسافات البينية وكثير من المعلومات الأخرى .

إن كل الجزيئات تمتلك ثالث انتقالات طيفية رئيسية هي (الانتقالات الالكترونية وتقع تردداتها في المنطقة المرئية والفوق بنفسجية والانتقالات الاهتزازية وتقع تردداتها في المنطقة تحت الحمراء القريبة والمتوسطة والانتقالات الدورانية وتقع تردداتها في المنطقة تحت الحمراء البعيدة والمجوّات المايكروية) . ولكون الجزيئات في حالة حركة اهتزازية دائمة حتى عند درجة حرارة الصفر المطلق لهذا فإن دراسة الانتقالات الاهتزازية للجزيئه يعد مصدرًا جيداً للمعلومات عن التركيب الجزيئي.

وتعد جزيئه فلوريد الكبريت (S_2F_2) من المواد شبه الموصلة المعاملة بالهالوجين (F) حيث يبلغ الوزن الجزيئي لها(102.117 amu) Molecular Weight=102.117 amu، كما تصل درجة انصهارها بحدود $(120.5-38.4)^{\circ}C$ ودرجة الغليان تصل بحدود $(200)^{\circ}C$ [1] . وتحضر من تفاعل فلوريد الفضة مع الكبريت عند درجة حرارة $(200)^{\circ}C$ [2] . وتحضر جزيئه (S_2F_2) من الجزيئات سريعة التفكك ، وبالتالي فمن الصعب الحصول عليها في الحالة النقية .

(2) النظرية :

لدراسة الأطيفات الجزيئية لأي جزيئه مهما كانت معقدة فإن هناك طريقتين رئيسيتين هما : أطيف رaman وتعتمد على مبدأ التشتيت للأشعة الكهرومغناطيسيه والثانية ترددات الأشعة تحت الحمراء والتي تعتمد على تفاعل الأشعة الكهرومغناطيسيه مع جزيئات المادة حيث تمتلك الجزيئه الأشعة تحت الحمراء وتحول طاقتها إلى طاقة اهتزازية للذرات المكونة للجزيئه . وطبقاً لقوانين الكم فإن هذه الطاقة تكون مكممه وعندها تنتقل الجزيئه من مستوى طاقة إلى آخر أعلى [3].

إن أبسط الجزيئات هي الجزيئات ثنائية الذرة حيث تتكون من ذرتين تربط بينهما أصارة كيميائية وتهتزان على طول المحور البيني للنواتين internuclear axis وللتقريب يمكن أن نتخيل إن كتل النواتين هما m_1 و m_2 على التوالي والأصارة بينهما تمثل نابض حزروني عديم الكتلة تهتزان توافقياً نسبة إلى مركز الكتلة [4، 5]. ووفقاً لقانون هوك فان القوة المعيدة فيها هي

$$f = -kx \quad \dots \quad (1)$$

حيث k : ثابت القوة ، x الإزاحة عن مركز الكتلة ($x = r - r_e$) ، r_e مركز الكتلة (طول الأصارة المستقرة). إن كلا الكتلتين يمكن أن تتنقل معاً ككتلة واحدة فعالة (effective mass) ويرمز لها (μ)

$$\frac{1}{\mu} = \frac{1}{m_1} + \frac{1}{m_2} \Rightarrow \mu = \frac{m_1 \cdot m_2}{m_1 + m_2} \quad \dots \quad (2)$$

أو تهتز توافقياً نسبة إلى مركز كتلتها بتردد يعطى بالمعادلة (3)

$$\nu = \frac{1}{2\pi} \sqrt{\frac{k}{\mu}} \quad \dots \quad (3)$$

ومن هذه المعادلة يمكن أن نلاحظ إن التردد يزداد مع k (قوة الأصارة) ويقل بزيادة الكتلة الفعالة ويمكن كتابة القوة المعيدة بدلاله الطاقة الكامنة كما في المعادلة (4).

$$F = \frac{dV(x)}{dx} = -kx \quad \dots \quad (4)$$

حيث ($V(x)$) الطاقة الكامن بدلاله الإزاحة، وبتكامل طرفي المعادلة نحصل على

$$V(x) = \frac{1}{2} kx^2 \quad \dots \quad (5)$$

وطبقاً لقوانين الكم فان الطاقة الكلية الهايبلتونية (quantum mechanical Hamiltonian) لمذبذب توافقى وبعد واحد تعطى بالمعادلة (6)[4، 6].

$$H = \frac{-\hbar^2 d^2}{2\mu dx^2} + \frac{1}{2} kx^2 \quad \dots \quad (6)$$

وبإدخال معادلة شرودنکير في معادلة الهايبلتونين تصبح

$$\frac{d^2\psi}{dx^2} + \left(\frac{2\mu E_V}{\hbar^2} - \frac{\mu kx^2}{\hbar^2} \right) \psi = 0 \quad \dots \quad (7)$$

إن حل هذه المعادلة يعطي معادلة دالة الموجة Ψ_V [4، 6].

$$\Psi_V = \left(\frac{1}{2^V V! \pi^{1/2}} \right)^{1/2} H_V(y) \exp\left(-\frac{y^2}{2}\right) \quad \dots \quad (8)$$

حيث ($H_V(y)$) تعرف بمتحدة هيرمييت (Hermit polynomial) وقيمة y تعطى بالمعادلة

$$y = \left(\frac{4\pi^2 V \mu}{h} \right)^{1/2} (r - r_e) \quad \dots \quad (9)$$

ومن حل معادلة شرودنکير نجد إن طاقة المستوى الاهتزازي هي

$$E_V = h\nu(V + \frac{1}{2}) \quad \dots \quad (10)$$

حيث ν تمثل تردد الموجة، V العدد الكمي الاهتزازي ويأخذ الأرقام (0, 1, 2, 3, 4, ...) ويمكن أن تكتب المعادلة بدلاله العدد الموجي وهو الأكثر شيوعاً في دراسة الأطياف وكما في المعادلة

$$E_V = hc\omega(V + \frac{1}{2}) \quad \dots \quad (11)$$

ومن هذه المعادلة نلاحظ إن المسافات بين المستويات الاهتزازية المتباينة تكون متساوية وتتساوي $hc\omega$ ، وإن المستوى الاهتزازي الرئيسي (E_0) ويدعى بطاقة نقطة الصفر (zero point energy) يحسب عندما ($V=0$) وكما في المعادلة (12).

$$E_0 = \frac{1}{2} hc\omega_0 \quad \dots \quad (12)$$

والتي تمثل اقل طاقة يمكن أن تمتلكها الجزيئه حتى عند درجة حرارة الصفر المطلق. في هذا النموذج تم اعتبار السرعة الانتقالية لنوى الجزيئية تساوي صفر وجميع الطاقة هي بشكل طاقة كامنة وهذا خلاف الواقع لذلك ظهر اختلاف كبير بين النتائج النظرية والعملية

إن الجزيئات الثانية الحقيقة لا تساك سلوكا توافقيا بشكل دقيق ، عندما تكون قيمة ($r - r_e$) صغيرة جداً تساك الجزيئات سلوكا توافقيا وبزيادة الإزاحة تبدأ الجزيئات بالانحراف عن السلوك التوافقي حيث تعمل كمتر لاتوتفقي anharmonic oscillator إلى أن تصل قيمة محددة تتفق فيها الجزيئه إلى الذرات المكونة لها وتدعى الطاقة الكامنة عند هذه النقطة بطاقة التفكك (Dissociation energy) (D_e) [6].
لقد اقترحت دوال جهد عديدة تتفق مع المنحني التجريبي على نحو أفضل، ولعل أشهرها هي دالة جهد مورس (Morse Potential Function) [5].

$$V(x) = hcD_e[1 - \exp(-a(r - r_e))]^2 \dots (13)$$

$$a = \left(\frac{k}{2hcD_e} \right)^{1/2} \dots \dots \dots (14)$$

حيث إن a ثابت خاص بمستويات الطاقة الالكترونية للجزيء ، أما $V(x)$ فهي الطاقة الكامنة للأصارة.
ويتبين من المعادلة إن قيمة $V(x)$ تقترب من D_e عندما تقترب (r) من مالا نهاية وهذا مطابق للتصرف الحقيقي للجزئيات ثنائية الذرة.
ويمكن كتابة معادلة الطاقة للمتنبب (المهتز) اللاتوتفقي باستعمال معادلة شرود نكر ومعادلة الجهد اللاتوتفقي (مورس)
للحصول على مستويات الطاقة الاهتزازية بدالة العدد الكمي الاهتزازي ($V = V_0 + \frac{1}{2} \omega_e^2 x_e^2$) كالآتي [7] .

$$E_{vib} = \left(V + \frac{1}{2} \right) hc\omega_e - \left(V + \frac{1}{2} \right)^2 hc\omega_e x_e \dots (15)$$

حيث أن (E_{vib}) يمثل طاقة المستوى الاهتزازي ، (ω_e) التردد الاهتزازي في الحركة اللاتوتفقية ، (x_e) ثابت اللاتوتفقية . (Anharmonic constant)

$$\omega_e x_e = \frac{a^2 hc}{2\mu} \dots \dots \dots (16)$$

ومن معادلة مورس يمكن أن نستخرج عدد مستويات الطاقة الاهتزازية $(v = 0, 1, 2, \dots v_{max})$. [4]

$$v_{max} < \frac{2D_e}{\omega_e} - \frac{1}{2} \dots \dots \dots (17)$$

ولإيجاد طاقة نقطة الصفر (E_0) من معادلة مورس تستخدم المعادلة التالية

$$E_0 = \frac{1}{2} hc\omega_e \left(1 - \frac{1}{2} x_e \right) \dots \dots \dots (18)$$

وطاقة التفكك (D_e) تعطى تقريراً بالمعادلة (19) .

$$D_e \cong \frac{\omega_e^2}{4\omega_e x_e} \dots \dots \dots (19)$$

وذلك بعد إهمال كل الثوابت اللاتوتفقية عدا $\omega_e x_e$ ، وبالتالي نجد إن

$$D_0 = D_e - \frac{E_0}{hc} \dots \dots \dots (20)$$

أما قواعد الاختيار للانتقالات الاهتزازية اللاتوتفقية فهي: $\Delta V = \pm 1, \pm 2, \pm 3, \dots$. علمًاً إن الانتقالات تكون ضعيفة جداً وتسمى بالحزن فوق الأساسية (Over tone bands) وتردداتها تساوي تقريرياً مضاعفات تردد الحزمة الأساسية (Fundamental Band) .

تتميز حسابات الطرائق شبه التجريبية بسرعة التنفيذ، فقد لجأ علماء الكم إلى سبل التقريب ومن هذه الطرائق المتقدمة شبه التجريبية التي استخدمت في البحث هي طريقة MNDO-PM3 حيث ان هذه الطريقة ترتقي إلى مستويات متقدمة إلى حدٍ ما وخصوصاً عند تناول جزيئات تحتوي على تاثيرات الكترون-الكترون او على ازواج الكترونية وهي الخاصية التي تتميز بها جميع الجزيئات العالية الطاقة (HEM) . لذا فإن طريقة MNDO-PM3 المحسوبة ضمن برنامج WinMopac7.21 جلت هناك

تقرب كبير بين نتائج هذه الطريقة وبين القيم العملية المقاسة تجريبياً وهذا التقارب كان هو المحفز الاساس لاستخدام طريقة PM3 . تم في هذا البحث استعمال ثلاثة برامج حسابية أساسية وهي :

1- برنامج PCMODEL : هو برنامج بصيغة طرائق الميكانيك الجزيئي (MM) (Molecular Mechanic) التي تستعمل دوال تحليلية بسيطة $f(r,\theta,\varphi)$ تمثل الاحاديث الداخلية مثل طول الأصرة ، وانحاء الزاوية ، وزاوية السطوح (Dihedral Angle).

ويتم عن طريق هذا البرنامج رسم الجزيئات بصورة أولية مع ثبيت طبيعة الاوامر بين كل ذرتين من ذرات الجزيئه ، وحساب شكلها الهندسي المتوازن ، ويتم ذلك عن طريق تصحيح الشكل الهندسي الفراغي للجزيء الى أقرب شكل مستقر طقلياً (Geometry Optimization) .

ومن هذا البرنامج يتم الحصول على ملف يحوي الاحاديث الداخلية للوضعية التي تم بموجتها تشكيل الجزيء هندسياً أو فراغياً ، فهذا الملف على صورة مصفوفة وعن طريقها تعرف اطوال الاوامر وقيم زوايا التأثر، وقيم زوايا السطوح (Dihedral Angle) (WinMopac7.21) وغيرها. وبعد هذا الملف مدخلاً إلى البرنامج التالي وهو

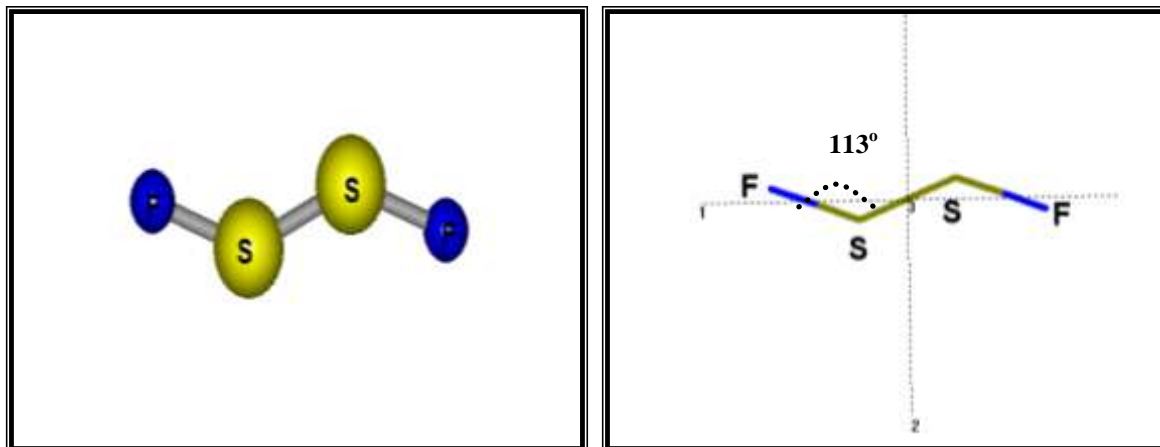
2- برنامج WinMopac7.21: كغيره من برمجيات النمذجة الجزيئية (Molecular Modeling) فقد نمت تطبيقات هذه البرمجيات في السنوات الأخيرة ، وأضحت لها الحضور الكبير في كثير من البحوث والدراسات وفي المجالات العلمية المختلفة ، وقد وفر برنامج الموباك وغيره الحل المناسب للصعوبات العملية والميدانية في دراسة هذه المواد نظراً لحساسيتها وخطورتها وسرعة تفاعلها. وكذلك وفرت هذه البرنامج الكثير من الجهود في مجال البحث العلمي، منها تعين منحنيات سطوح الطاق [8] ، و تحديد الشكل الهندسي للبوليمرات والطاقات النسبية لجزيئات معقدة أخرى [9] وغيرها . كما قمنا عن طريق هذا البرنامج بحساب بعض الخصائص والدوال الحرارية للجزيئات مثل حرارة التكوين (Heat of formation) والسعنة الحرارية (Enthalpy) والانثالبي (Entropy) (Heat capacity) (Gibb's free energy) اضافة إلى طاقة جبس الحرارة (Gibb's free energy) مع رسم العلاقة البيانية لكل حالة من الحالات الحرارية .

ويقوم برنامج WinMopac7.21 بقراءة القيم الناتجة من برنامج PCMODEL وبالتالي يتم حساب الكثير من الكميات والخصائص الجزيئية مثل الأطياف الاهتزازية ، والكميات الترموديناميكية ، وثوابت القوى وغيرها .

3- برنامج HyperChem : يعتبر هذا البرنامج برنامجاً تكميلياً لحساب باقي الخصائص . وبعد رسم الجزيء وتحديد الذرات بابعاد محددة يتم اجراء الانضالية الهندسية الجزيئية للحصول على الشكل المستقر بأقل طاقة جهد باختيار احد الطرائق شبه التجريبية ، إذ تم اعتماد هذا البرنامج على طريقة MNDO-PM3 ، ومن ثم حساب الخصائص ، والتي منها وصف انماط الاهتزاز الأساسية وصفاً كاملاً بتردداتها ومستوى تمايز كل نمط ، ورسم هذه الانماط باسهم ، بحيث يمثل كل سهم اتجاه حركة الذرة مع الشدة . كذلك اعطاء القيم الذاتية الطاقية للمدارات مع تمايز كل مستوى ورسم هذه المستويات ، مع بيان أعلى مدار جزيئي مشغول بالاكترونات مع قيمة الطاقة (E_{HOMO}) ، وأوّل مدار جزيئي غير مشغول ومقدار قيمته من الطاقة ايضاً (E_{LUMO}) ، ورسم هذه المدارات ببعدين (2D Contours) وبثلاثة ابعاد (3D Isosurface) .

(3) النتائج والحسابات :

ولعرض توضيح التركيب الجزيئي فقد تم اعتماد حساب المحاور الداخلية (Internal coordinates) (r,θ,φ) من خلال برنامج لـ (PC-Model) ، كما تم رسم الزاوية المحصورة بين الاوامر ومقدارها 113° ، والشكل (1) يبين الشكل التخطيطي لجزيء S_2F_2 والزاوية المحصورة بين الاوامر مع بيان المحاور الداخلية للجزيء .



الشكل (1) يمثل التركيب الجزيئي لجزيء (S_2F_2) مع بيان المحاور الداخلية والزاوية المحصورة بين الاوامر

حيث ان عدد الذرات المكونة لجزئية ($N=4$) وبذا تكون عدد درجات الحرية ($12 = 3N - 6$) درجة، عدد الانماط الاهتزازية وحسب القاعدة ($3N - 6$) لكونها جزيئه غير خطية هي (6) درجات؛ وهناك (3) درجات للحركة الدورانية و (3) درجات للحركة الانتقالية. ولقد تم رسم الشكل الترکيبي للجزئية من خلال برنامج Hyper Chem . وهو الشكل الهندسي عند حالة الاتزان للجزئية ، اي اقل مستوى الطاقة،وبتكرار عملية الـ (Optimization) نحصل على افضل شكل متوازن ومستقر، حيث ان الطاقة الادنى هي المعيار في الشكل المستقر .

وبعد رسم الجزيئه باستخدام المحاور الداخلية (Internal Coordinat) للجزئية (r, θ, ϕ)، حيث تمثل (r) طول الاصرة بالانكسار و (θ) هي الزاوية بين ثلاث ذرات والتي تقاس (بالدرجة) اما (ϕ) فهي زاوية السطوح (Dihedral angle) والتي تقاس بالدرجة ايضاً، والحصول على الافضلية لاحسن وضع هندسي للجزئية (Optimization) وذلك من خلال استخدام برنامج PC-Model (PC-Model) نحصل على المصفوفة الابتدائية الخاصة بالجزئية وكما في جدول(1) والذي يحتوي على الذرات المكونة للجزئية والمسافة بين هذه الذرات وقيم الزوايا بين الاواصر وعلى زوايا السطوح .

Atom	Distance (r) (Å)	Opt.	Angle (θ°)	Opt.	Dihedral (ϕ°)	Opt.	A	B	C
F	0.00000	0	0.000000	0	0.000000	0	0	0	0
S	1.462062	1	0.000000	0	0.000000	0	1	0	0
S	1.625056	1	113.058400	1	0.000000	0	2	1	0
F	1.502882	1	114.009300	1	180.000000	1	3	2	1

جدول (1) المصفوفة الابتدائية لجزئية (S_2F_2)

بعد الحصول على المصفوفة الابتدائية وادخالها في برنامج الـ (WinMopac7.21) يتم الحصول على بعض الخصائص المهمة والتي هي جزء من الخصائص المحسوبة لاحقاً، وقد تم الحصول عليها عند موضع الاتزان للجزئية (أي عند موضع الاستقرار)، والجدول(2) يوضح قيم هذه الخواص ووحدة القياس لكل منها .

Quantity	Magnitude	Unit
Final heat of formation	-61.00164	Kcal/mol
Total energy	-1251.98395	eV
Electronic energy	-2545.81453	eV
Core-core repulsion	1293.83058	eV
Ionization potential	10.22893	eV
No. of filled levels	13	Level
Molecular weight	102.117	a.m.u
Computation time	0-0-1	h-min-sec
Zero point energy	3.588	Kcal/mol

جدول (2): نتائج بعض الخصائص المهمة لجزئية (S_2F_2) المحسوبة ببرنامج الـ (WinMopac7.21)

ومن الخصائص الفيزيائية المهمة التي تم حسابها من خلال برنامج الـ (WinMopac7.21) وباستخدام احدى الطرق شبه التجريبية وهي (MNDO/pm3) حساب عزم القصور الذاتي للجزئية والتي تكون مختلفة في قيمها[10] وهي : $I_A=0.903907\text{cm}^{-1}$, $I_B=0.069992\text{cm}^{-1}$, $I_C=0.067510\text{cm}^{-1}$. وكذلك تم قياس عزم ثانوي القطب للجزئية (Dipole moment) والذي هو مجموع عزوم الاواصر في الجزيئه وكانت قيمته (0.00081D).

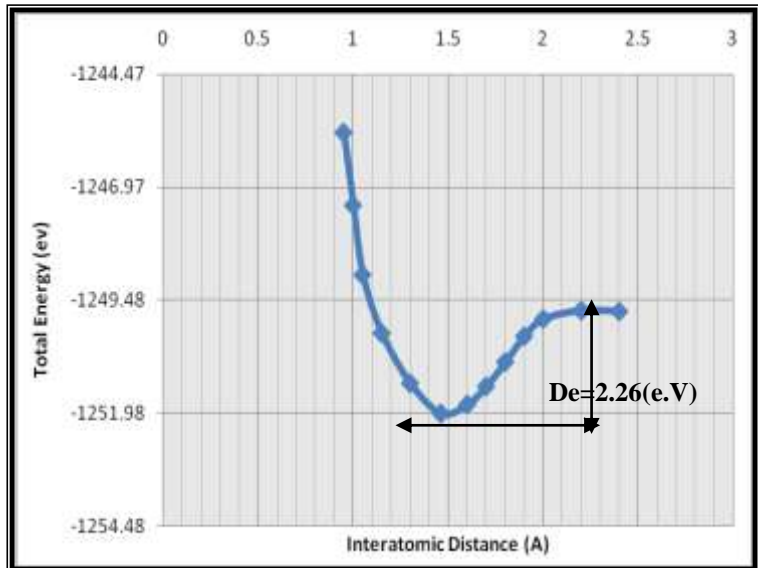
(1-3) منحني طاقة الجهد اللاتواقي لجزيئه S_2F_2 :

ان الحد الادنى للطاقة هو المعيار الذى يحدد البنية التى تتبعها جزيئه فلوريد الكبريت بالحصول على أفضل وضع هندسي للجزيئه عن طريق اجراء عملية الاضفالية (Optimization) لجزيئه (S_2F_2) ، وبعد ادخال المصفوفة الابتدائية في برنامج (WinMopac7.21) نجري عملية الاضفالية لجميع ذرات الجزيئه

وبتغير المسافة بين (S-F) واخذ بالمقابل الطاقة الكلية لجزيئه عند كل مسافة وكما في جدول (3)، حيث يتم رسم منحني الجهد، وعند مسافة الاتزان ($r=r_{eq}$) يتم الحصول على أقل مقدار لطاقة (عند حالة الاستقرار) وكانت تساوى ($E_{total} = -1251.98$ eV) عند مسافة الاتزان ($r_{eq} = 1.46202 \text{ \AA}$) ، وعند هذه المسافة تحسب الخواص الطيفية والخاصة بالانماط والترددات والشدة والتماثل وكل نمط. والشكل (3) يوضح منحني طاقة الجهد لجزيئه عند موضع الاتزان.

Total energy (eV)	Distance (\text{\AA})
-1245.76	0.95
-1247.37	1.0
-1248.91	1.1
-1250.20	1.2
-1251.31	1.3
-1251.98	1.462062
-1251.78	1.6
-1251.38	1.7
-1250.84	1.8
-1250.27	1.9
-1249.89	2.0
-1249.70	2.2
-1249.72	2.4

جدول (3): ابعاد الاوامر بين الذرات
وما يقابلها من قيم الطاقة.



شكل (3): منحني طاقة الجهد لجزيئه (S_2F_2) عند موضع الاتزان
بفرض ان الاصرة S-F هي الاصرة الفاعلة.

ونلاحظ من الشكل (4-3) ان المسافة عند الاتزان ($r=r_{eq}=1.46206 \text{ \AA}$) (E_{min}=-1251.98 eV) ، وبزيادة المسافة بين الذرات تزداد الطاقة الحركية للذرات بسبب تناقض(نواة – نواة) ، وبالتالي فإن زيادة الطاقة تزيد من الطاقة الحركية للذرات المتبااعدة جداً مما يؤدي الى تفكك الذرات ، وطالما ان هذه الطاقة ليست محددة لذا فان الطيف الناتج يمثل التفكك [10] ، حيث طاقة تفكك الاصرة (S-F) هي ($D_{eq}=2.26 \text{ (eV)}$).

(2-3) حساب الترددات الاهتزازية لجزيئه S_2F_2 :

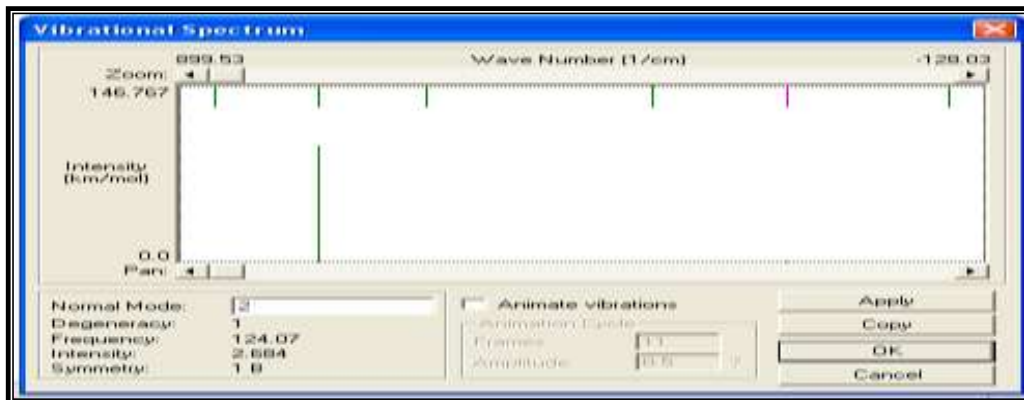
بعد رسم منحني الجهد الخاص بالجزيئه عند موضع الاتزان ($r=r_{eq}$) يتم حساب الترددات الاهتزازية لجزيئه بعد ان يتم اخذ المصفوفة النهائية لوضع الاتزان وباستخدام برنامج (WinMopac7.21) وبطريقة (MNDO/pm3) الشبه تجريبية حيث يتم حساب الترددات بدلالة العدد الموجي وبوحدة (cm^{-1}) ومن ثم حساب الطول الموجي عند كل تردد، وبما ان الجزيئه غير خطية لذا يكون عدد انماط الاهتزاز لجزيئه وحسب القاعدة (3N-6) هي (6) انماط اهتزاز والجدول (4) يوضح أهم النتائج التي تم الحصول عليها للترددات الاساسية (Fundamental Frequencies) للجزيئه والاطوال الموجية المقابلة لها.

No. vibration	Wave number $\nu(\text{cm}^{-1})$	Wave length $\lambda(\mu\text{m})$
1	81.58	122.55
2	123.85	80.74
3	296.20	33.76
4	582.92	17.15
5	720.50	13.87
6	852.83	11.72

جدول (4): الترددات الاهتزازية لجزيئه (S_2F_2) والاطوال الموجية المقابلة لها

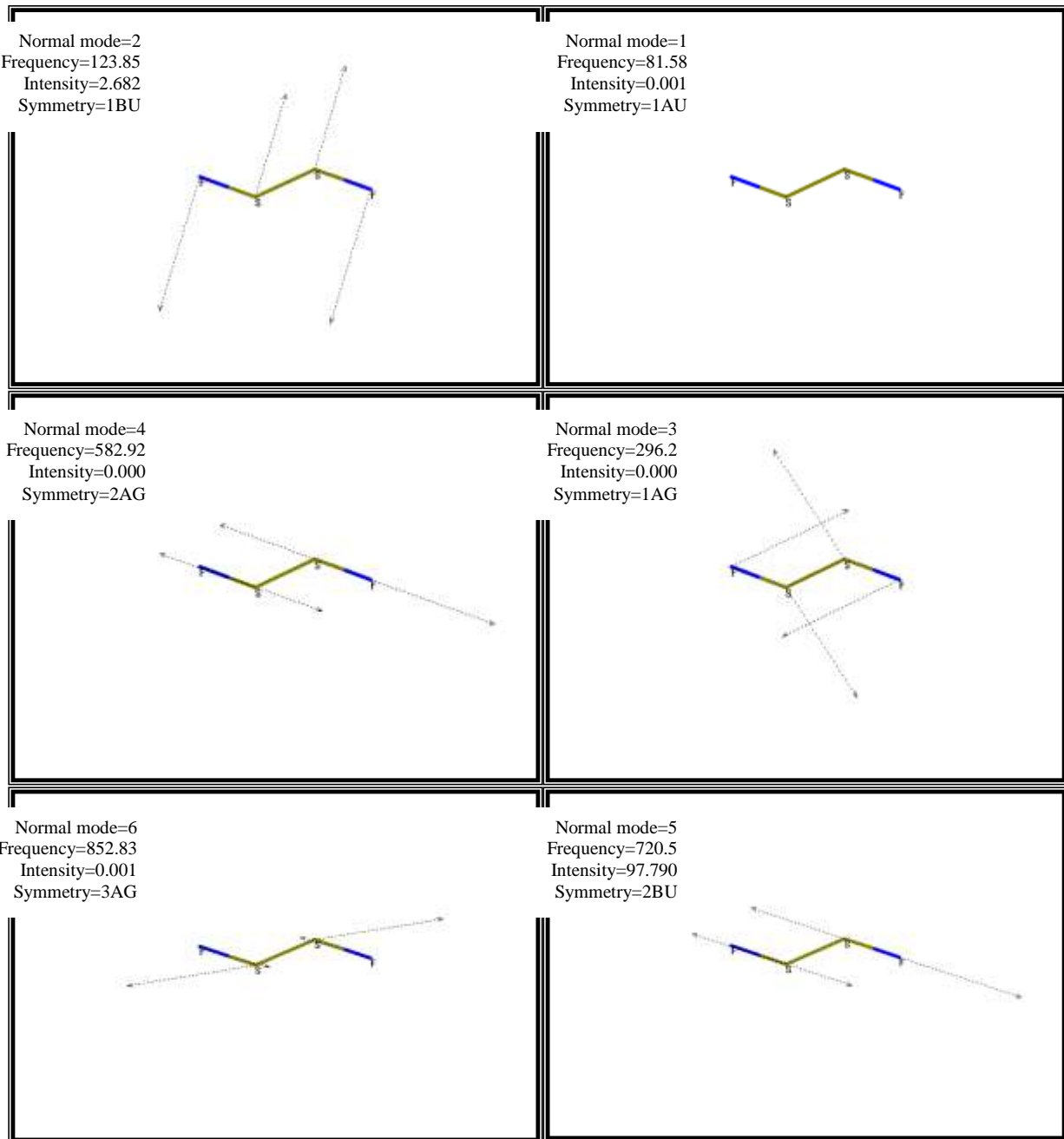
(3-3) وصف انماط الاهتزاز لجزئية (S_2F_2) :

باستخدام برنامج الـ (Hyperchem) يتم حساب الترددات الاهتزازية للجزئية بوحدة (cm^{-1}) مع اعطاء بعض الخصائص الطيفية الاخرى مثل شدة كل نمط كل نمط (Intensity) بوحدة (km/mol) وكذلك نوع التمايز (Symmetry) لكل نمط من انماط الاهتزاز للجزئية والشكل (4) يمثل نافذة البرنامج التي يتوضّح فيها انماط الاهتزاز الاساسية.



شكل (4) : يمثل احدى خطوات برنامج الـ (Hyperchem) والتي يتوضّح فيها انماط الاهتزاز الاساسية

ولقد تم وصف (6) انماط اهتزاز لجزيئه حسب القاعدة $(3N-6)$ مع توضيح اتجاهات الحركة بالاسهم وكذلك قيمة تردد كل نمط وشدة وتماثله . وكما في الاشكال التالية :



شكل (5) : وصف انماط الاهتزاز لجزيئه S_2F_2 وتوضيح قيمة تردد كل نمط مع الشدة والتماثل.

ولقد تم توضيح اتجاهات الحركة الاهتزازية بالاسهم، حيث ان طول السهم نسبة الى سهم اخر في الرسم نفسه او النمط نفسه يبين الكمية التي تزاح بها الذرة المرتبطة بها عن داية لحظة نسبة الى الازاحة الانية للذرة المرتبطة بها السهم الآخر، وتعد اطوال الاسهم نسبة الى المسافات ما بين الذرات في الرسوم مبالغ فيها [11].

(4-3) القيم الذاتية الطاقية للمدارات الجزيئية لـ S_2F_2 :

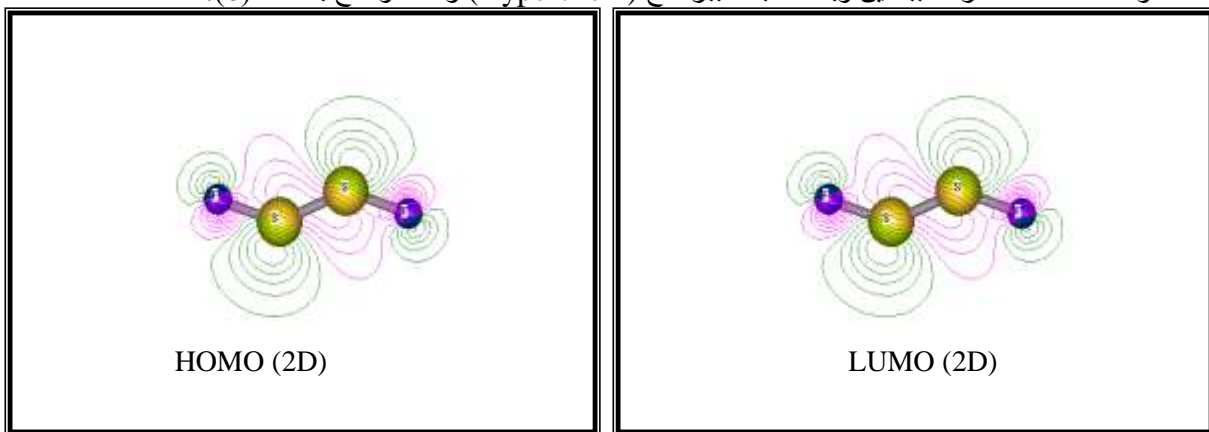
لقد تم حساب ودراسة بعض الخواص الطيفية الأخرى ومنها حساب قيم الطاقة للمدارات المشغولة وغير المشغولة بالالكترونات وكما في الجدول(5) ، وبعد الحصول على أفضل وضعية للجزئية نحصل على المدارات الجزيئية والقيمة الطاقية لكل مدار وتماثل كل مستوى، ولقد كان عدد المدارات المشغولة بالالكترونات (13) مدار و(3) مدارات غير مشغولة.

Eigen values			
E_{Homo}		E_{LUMO}	
No. level	Energy (eV)	No. level	Energy (eV)
1	-10.22893	1	-3.36000
2	-10.34035	2	-0.35062
3	-12.42076	3	0.12667
4	-14.73105		
5	-17.02359		
6	-17.14159		
7	-17.83437		
8	-17.96446		
9	-18.10873		
10	-18.75248		
11	-23.47597		
12	-27.64842		
13	-30.14425		

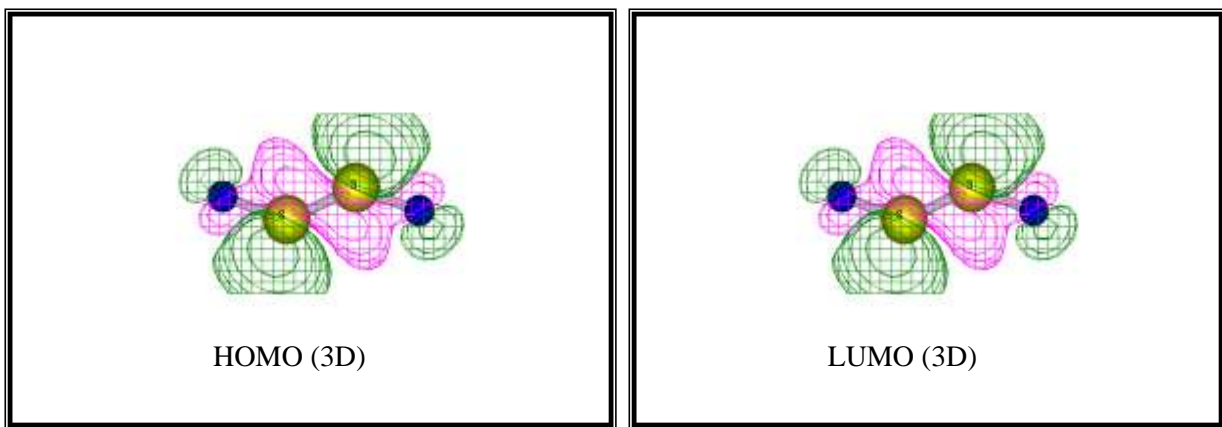
جدول (5): القيم الذاتية لمستويات الطاقة كما حسبت ببرنامج الـ (WinMopac 7.21)

نلاحظ من الجدول (5) ان عدد المدارات المشغولة بالالكترونات 13 مداراً وان أول مستوى يمثل أعلى مدار جزيئي مشغول (HOMO) ومقدار طاقته (eV) ($E_{HOMO}=-10.22893$) اما تماثل هذا المستوى (7AU) . اما المدارات غير المشغولة بالالكترونات عددها 3 مستويات وان أول مدار يمثل أوسطي مدار جزيئي غير مشغول(LUMO) ومقدار طاقته ($E_{LUMO}=-3.360$ eV) وتماثله (7BG)، ونلاحظ ان المدارات المشغولة تحتوي على الكترونين مختلفان بالاتجاه (البرم-Spin)، وعند اخذ القيمة المطلقة لطاقة المدار المشغول الاول نحصل على جهد التأين (Ionization potential) ويرمز له (I.P) وهي الطاقة اللازمة لابعاد او هن الكترون مرتبطة بالذرة المتعادلة وكانت قيمته (I.P=10.22893 eV) في حين كانت القيم المأخوذة من الادبيات هي (10.41 eV) بطريقة(PI) [12] ، و(10.20 eV) بطريقة(PE) [13] . كما ويمكن معرفة الافلة الالكترونية للجزئية (Electron affinity) وذلك باخذ قيمة أول مدار جزيئي غير مشغول وتساوي(3.360 eV).

لقد وضحت هذه المدارات ببعدين وبثلاثة ابعاد ببرنامج (Hyperchem) وكما موضح بالشكل (6) :



شكل (6-a-6): اعلى مدار جزيئي مشغول بالالكترونات (HOMO) وادنى مدار غير مشغول (LUMO) ببعدين (2D)

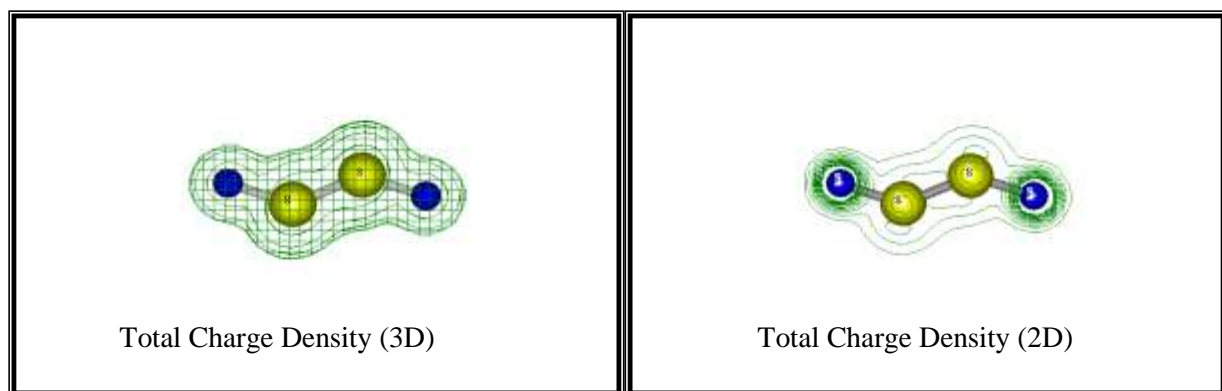


شكل (6-b): اعلى مدار جزيئي مشغول بالاlectرونات(HOMO) وادنى مدار غير مشغول(LUMO) بثلاث ابعاد(3D)

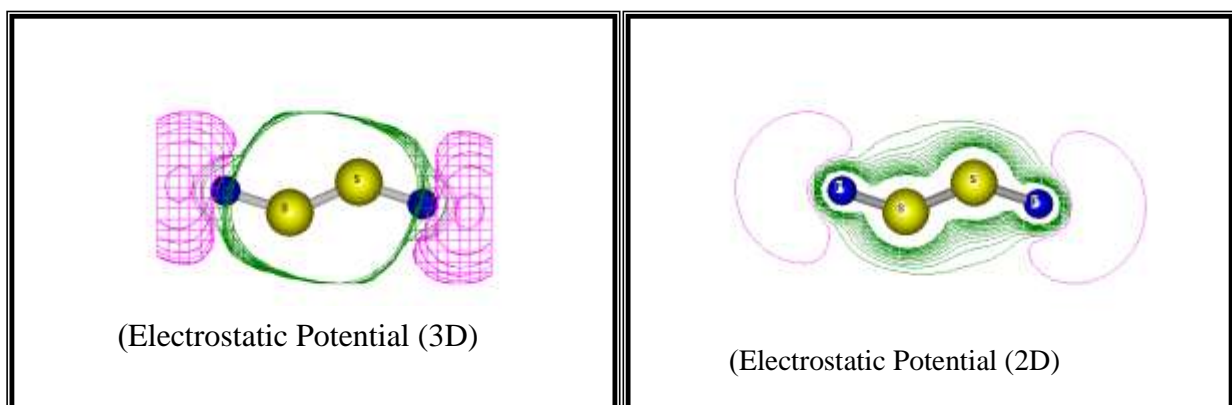
وبعد معرفة قيمة الطاقة لاعلى مدار جزيئي مشغول وقيمة اوطنأ مدار جزيئي غير مشغول، يمكن حساب فجوة الطاقة بين المستويين (Energy gap) حيث كانت:

$$\text{E.G. } = E_{\text{LUMO}} - E_{\text{HOMO}} = -3.360 - (-10.22893) = 6.9383 \text{ (eV)}$$

كما تم حساب خصائص طيفية اخرى ومنها كثافة الشحنة الكلية (Total charge density) للجزيئة، وكذلك جهد الكهربائية الساكنة (Electrostatic potential) . وكما موضح بالشكل (7).



شكل (7-a): توزيع كثافة الشحنة الكلية لجزيئه (S_2F_2) ببعدين وبثلاث ابعاد



شكل (7-b): جهد الكهربائية الساكنة لجزيئه (S_2F_2) ببعدين وبثلاث ابعاد

ونلاحظ من الشكل (7-a) ان كثافة الشحنة الالكترونية تتركز حول الذرات الاكثر كهروسلبية، لذا نلاحظ ان معظم الشحنة تتجمع حول ذرات الهالوجينين (ذرة الفلور هنا) الاكثر سالبية من ذرة الكبريت .

(6) مقارنة بين الطرائق شبه التجريبية في حساب بعض الخواص الفيزيائية لجزيئه S₂F₂

لقد تم حساب بعض الخصائص الطيفية البصرية والحرارية لجزيئه S₂F₂ وبطرائق مختلفة ، اخذت هذه الحسابات عند تحقق شرط الاتزان $r=r_{eq}$ (عند الشكل المستقر لجزيئه) وكما في الجدول (12)

PHYSICAL PROPERTIES	MNDO-PM3	MNDO-AM1	MINDO/3	MNDO
FINAL HEAT OF FORMATION (kcal/mol)	-61.00164	-46.80588	-49.88321	-41.26043
TOTAL ENERGY(eV)	-1251.983	-1359.206	-1398.639	-1414.578
ELECTRONIC ENERGY(eV)	-2545.814	-2791.900	-2907.634	-2912.074
CORE-CORE REPULSION(eV)	1293.830	1432.694	1508.995	1497.496
INOIIZATION POTENTIAL (eV)	10.22893	9.86092	9.59802	11.17241
NO.OF FIELD LEVELS	13	13	13	13
MOLECULAR WEIGHT (amu)	102.117	102.117	102.117	102.117
ZERO.P.ENERGY Kcal/mol	3.588	2.953	2.925	3.201
PRINCIPAL MOMENTUM OF INERTIA(cm ⁻¹)	A=.903907 B=.069992 C=.067510	A=.823593 B=.057843 C=.052365	A=.802547 B=.049992 C=.048695	A=.79985 B=.04548 C=.04254

جدول (12) يمثل حساب بعض الخصائص الطيفية لجزيئه S₂F₂ وبطرق شبه تجريبية مختلفة عند تحقق شرط الاتزان

(4) الاستنتاجات:

من خلال دراسة الخصائص الطيفية والحرارية لجزيئه (S₂F₂) امكن استنتاج الاتي:

1. الوزن الجزيئي لجزيئه كان مساوياً الى (102.117a.m.u)، وبما ان التردد ($v=c/\lambda$) يتتناسب تناوباً عكسيأً مع الوزن

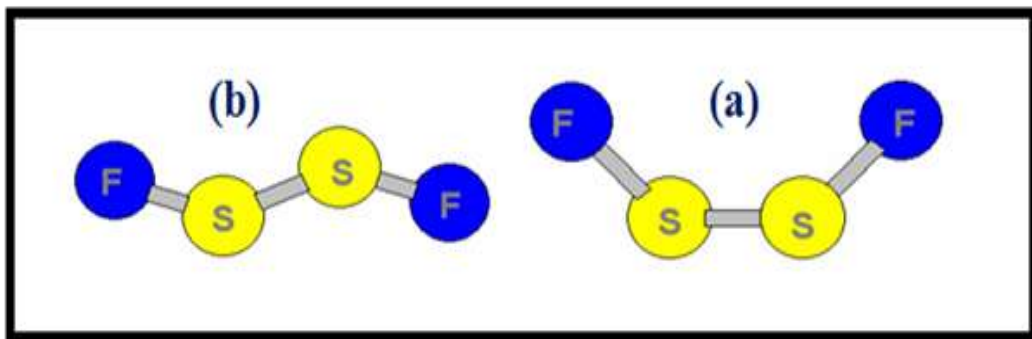
$$\text{الجزيئي حسب العلاقة: } v = \frac{1}{2\pi} \sqrt{\frac{k}{M}}$$

حيث ان M هي الكتلة المختزلة و K ثابت القوة للاصرة، لذلك فان قيم الترددات لجزيئه تكون كبيرة، والتي كانت تتراوح بين (852.83-81.58)cm⁻¹، لذا فزيادة الوزن الجزيئي يقل التردد.

2. ان مسافة التوازن لجزيئه كانت تقربياً مساوية (1.462 Å)، وقيمة الطاقة الى (E_T=-1251.983 eV) ، اما طاقة التفكك للجزيئه فكانت مساوية الى (De=2.26 eV).

3. تمتلك الجزيئية من المدارات الجزيئية المشغولة بالالكترونات (13) مدار؛ وكانت قيمة الطاقة لا على مدار مشغول (E_{HOMO}=-10.22893eV) وهو يمثل قيمة جهد التأين ، وللجزيئه عدد من المدارات غير المشغولة بالالكترونات وهي (3) مدارات فقط؛ وكانت قيمة الطاقة لأوّل مدار (E_{LUMO}=-3.3600eV) وهو يمثل قيمة الالفة الالكترونية لجزيئه.

4. ان الوضع المستقر لجزيئه (S₂F₂) يجعلها تتخذ شكل القارب (boat) او شكل الكرسي(chair)، فقد تم حساب الشكل الهندسي المتوازن والخصائص الطيفية لجزيئه (S₂F₂) وباعتبارها الاكثر استقراراً من الجزيئات الاخرى، فقد اخذت وضعين فراغيتين مختلفتين، بحيث ان هذه الجزيئه تختار افضل وضعية للتوازن، حيث اخذت شكل القارب كما في الشكل(13-a) ، وشكل الكرسي كما في الشكل (13-b) ،وكما مبين:



شكل(13) يمثل الوضعيت التي اتخذتها جزيئه (S_2F_2) الاكثر استقراراً هي شكل القارب (boat form)(a) وشكل الكرسي (chair form)(b).

المصادر:

- 1-XU, L.-H. , and HouGen, J. T. , J.Molec.Spectrosc. ,169,396, **(1995)** .
- 2-Dewar M.J.S. and Ramsden C.A. , J.Chem. Soc.Perkin Trans.1 ,1839 , **(1974)** .
- 3- Wartewig,S., "IR and Raman Spectroscopy: Fundamental Processing";WILEY-VCH Verlag GmbH & Co. KGaA, **(2003)**.
- 4-Atkins,P., Friedman, R., "Molecular Quantum Mechanics"; Fourth Edition, *Springer-Verlag New York, Inc. 2005*.
- 5-John P. Lowe, Kirk A.Peterson, "Quantum Chemistry"; Third Edition, *Elsevier Academic Press. 2006*.
- 6-Fletcher,N.H, "Harmonic? Anharmonic? Inharmonic?"; *Am. J. Phys.*, Vol. 70, No. 12,1205-1207., **2002**.
- 7 - "الاواصر الكيميائية وطاقة الاصر" تأليف د.ساندرسن،ترجمة د.عفرا كاظم جواد، ود.مرسي محمد مرسي **(1985)**
- 8- A. F. Jalbout, J. of Molec. Struct. Theochem. 585, 199-203, **(2002)** .
- 9- C. Oretir ,J. of Molec. Struct. Theochem. 588,145,153,**(2002)**.
- 10- Banwall C. N. " Fundamental of Molecular Spectroscopy ",McGraw –Hill Company **(1983)** .
- 11- M.J.S. Dewar and W. Thiel , J Am.Chem. Soc. 99, 4899, 4907,**(1977)** .
- 12- LEE, T. J. , and RICE , J. E., J. Amer. Chem. Soc. ,114 , 8247, **(1992)**.
- 13-The Aldrich Library of Infrared Spectra Second. Edition. Charles J. Powchert Copyright by Aldrich. Chemical ,**(1975)** .